

非エルミート 量子力学と局在現象

羽田野 直道
青山学院大学 物理学科

共同研究者
D.R. Nelson (Harvard)
A. Zee (UC Santa Barbara)

参考文献
N.H. and D.R. Nelson:
PRL 77, 570 (1996)
PRB 56, 8651 (1997)
PRB 58, 8384 (1998)
N.H.:
Physica A 254, 317 (1998)
学会誌1998年11月号
固体物理 1999年3月号

目次

1. 局在とは何か？
2. 非エルミート・アンダーソン模型と非局在転移
3. 研究目的 I —
局在長の計算
4. 複素スペクトルと非局在転移
5. なぜ非局在化するのか？
6. 研究目的 II —
磁束線ピン止め
共鳴寿命の計算

非エルミート アンダーソン模型

連続空間模型

$$H = \frac{(p + ig)^2}{2m} + V(x)$$

g : “虚数ベクトルポテンシャル” (定数ベクトル)

$V(x)$: (スカラー)ランダムポテンシャル

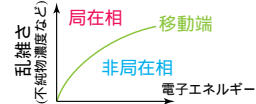
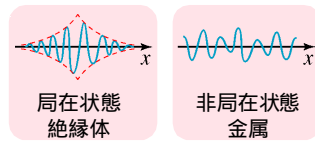
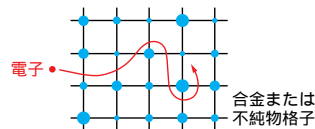
$g=0$: (通常のエルミートな)
—電子アンダーソン模型

なぜ非エルミート？

- 1) 概念を拡張して、新たな視点から物理を眺める
- 2) 有効的に物理を表現する

- (1) アンダーソン局在
局在長や移動端を求める
- (2) 高温超伝導体中の
磁束線ピン止め
ピン止め破壊点を求める
- (3) 共鳴状態
散乱問題における共鳴状態の寿命を求める

局在とは何か？

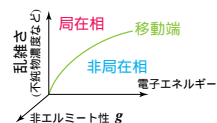


格子模型

$$H = -\frac{t}{2} \sum_x \sum_{v=1}^d (e^{\bar{g} \cdot e_v} |x + e_v\rangle \langle x| + e^{-\bar{g} \cdot e_v} |x - e_v\rangle \langle x|) + \sum_x V_x |x\rangle \langle x|$$



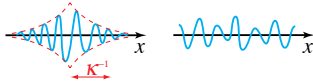
非対称ホッピングとランダムネスの競合



非エルミート非局在転移

$g=0$: 局在状態が存在

$\psi \sim e^{-\kappa|x|} \quad \kappa = 0$

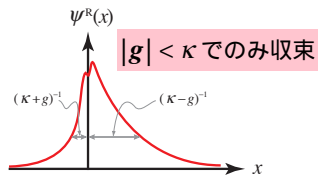


(i) $g \uparrow$: $g = g_c$ で
非局在転移する

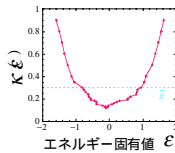
(ii) 非局在転移と
複素固有値が対応

(iii) 局在長逆数: $\kappa = g_c$

$\psi_0 \sim e^{-\kappa|x|} \rightarrow \psi_g^R \sim e^{-\kappa|x|+g \cdot x}$



$|g| > \kappa$: $\psi^R \sim e^{ik \cdot x}$, $\epsilon \sim \frac{(k+ig)^2}{2m}$



非局在転移のしくみ

複素ゲージ変換

$H_g = \frac{(p+ig)^2}{2m} + V(x)$

$eA \leftrightarrow ig$

$g=0$: $H_0 \psi_0 = \epsilon_0 \psi_0$



$g \neq 0$: $H_g \psi_g = \epsilon \psi_g$

ゲージ変換: $\Psi_g = \psi_0 e^{g \cdot x}$

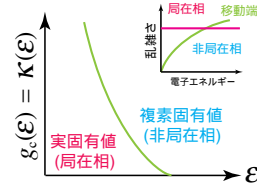
$\epsilon = \epsilon_0$: 実数値に固定

研究目的

(1) エルミート・アンダーソン模型の局在長の計算

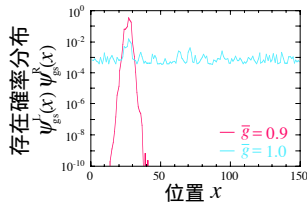
エルミートの場合 ($g=0$): $\psi_0 \sim e^{-\kappa|x|}$

$g = g_c$ で複素固有値が出現 $\rightarrow \kappa = g_c$



**非エルミート非局在転移
数値計算例**

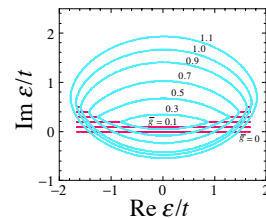
一次元・1000 サイト・1000x1000 行列を対角化



注: 粒子の存在確率 $\neq |\psi(x)|^2$
 $H|\psi^R\rangle = \epsilon|\psi^R\rangle$
 $\langle \psi^L | H = \epsilon \langle \psi^L | \rightarrow \langle \psi^L | |\psi^R\rangle^\dagger$

**複素固有値と非局在転移
数値計算例**

一次元・1000 サイト・1000x1000 行列を対角化

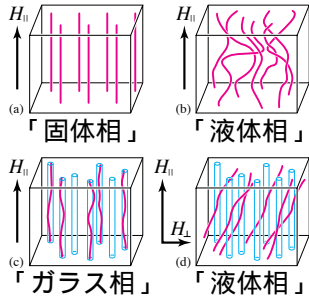


実数固有値
局在状態
 $\kappa > g$

複素固有値
非局在状態
 $\kappa < g$

研究目的

(2) 高温超伝導体中の 磁束線ピン止め

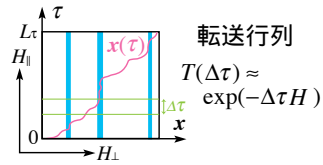


経路積分で量子系へ

$$E_G[x(\tau)] = \int_0^{\tau} d\tau \left[\frac{m}{2} \left(\frac{dx}{d\tau} \right)^2 - g \cdot \frac{dx}{d\tau} + V(x) \right]$$

$$g \equiv \Phi_0 \mathbf{H}_\perp / (4\pi)$$

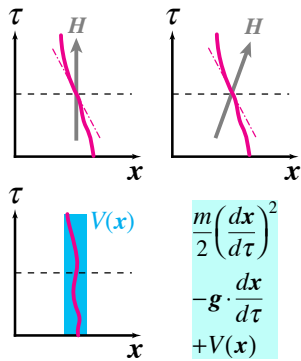
Nelson and Vinokur, PRB 48, 13060 (1993)



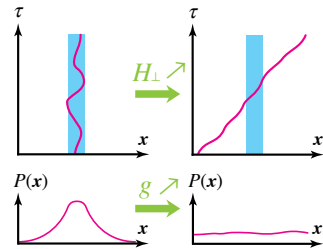
$$Z = \int D\mathbf{x} e^{-E_G[x(\tau)]} = \langle \psi^f | e^{-L_\tau H} | \psi^i \rangle$$

$$H = \frac{(p+ig)^2}{2m} + V(r)$$

磁束線の統計力学模型



ピン止めと局在

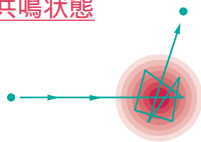


ピン止め
↓
局在分布関数

ピン止め破壊
↓
非局在分布関数

研究目的

(3) 共鳴状態



$$E_{\text{res}} = E_r - i\Gamma/2 \approx \frac{(k - i\gamma)^2}{2m}$$

Γ^{-1} : 共鳴状態の寿命

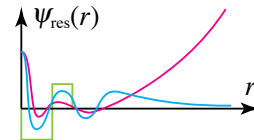
$$\psi_{\text{res}}(r) \sim e^{i(k-i\gamma)r} \text{ as } r \rightarrow \infty$$

境界条件を満たさない

$$H = \frac{(p+ig)^2}{2m} + V(r); \quad g = -g_0 \frac{x}{r}$$

$$\psi_{\text{res}}(r; g) = \psi_{\text{res}}(r; 0) e^{-g_0 r}$$

$$\sim e^{ikr - (g_0 - \gamma)r}$$



Aguilar et al, Comm. Math. Phys. 22 (1971)
加藤 他, 学会誌1998年2月号

$$\text{複素スケールリング} \begin{cases} r \rightarrow r e^{i\theta} \\ p \rightarrow p e^{-i\theta} \end{cases}$$

その他の応用・展望

- 電荷密度波のピン止め破壊
Chen *et al.*, PRB **54**, 12798 (1996)
- フォッカー・プランク方程式
Nelson and Shnerb, PRE **58**, 1383 (1998)
- ランダム・ゲージ場中の
ディラック・フェルミオン
Mudry *et al.*, PRL **80**, 4257 (1998)
- PT 対称性と実数固有値
Bender and Boettcher, PRL **80**, 5243 (1998)
複素エネルギー固有値 \leftrightarrow PT 対称性の破れ
- 相互作用と多体問題
Lehrer and Nelson, cond-mat/9806016
周期ポテンシャル中のモット相と非局在転移
- 非エルミート・ランダム行列